

UOT 621.315.592

CdSe/ZnS - NANOZƏRRƏCİKLƏRİNİN LÜMİNESSENSİYASI

M.Ə.CƏFƏROV, E.F.NƏSİROV, S.A.MƏMMƏDOVA

Bakı Dövlət Universiteti

maarif.jafarov@mail.ru

İşdə A^2B^6 tip birləşmələrin nanokristallarının lüminessensiya mərkəzlərinin fiziki təbiətinin modeli təklif edilmişdir. Nanokristallar məsaməli silisium üzərində sulu məhluldan kimyəvi çökədürülmə üsulu ilə alınmışdır və 30–50 nm ölçülürlər malikdirlər. Güman edilir ki, artıq bu ölçüdə nanokristalların kristal qəfəsi qüsurlarının dörd növü yaranır, hansılar ki, mikro- və monokristallar üçün öz-özünmə aktivləşən lüminessensiya mərkəzlərini yaradırlar. Qadağan olunmuş zonanın kənarlarının vəziyyətini və qüsurların səviyyələrini hesablaşmaq üçün effektiv kütlə modelindən istifadə olunmuşdur. Effektiv kütlənin modelindən istifadə edilməklə hesablamaların nəticələriylə lüminessensiyamın spektrlerinin dörd hissəyə ayrılmasıın nəticələrinin müqayisəsi göstərir ki, yaranan bilan xəta eksperimentin səhvini üstələmir. Bunun əsasında nəticə çıxardılmışdır ki, A^2B^6 tip birləşmələrin nanokristallarında öz-özünmə aktivləşən lüminessensiya mərkəzləri kristal qəfəsin aşağıdakı qüsurlarından yaranır: V_A -in kation vaksansiyaları, $[V_A - V_B]^0$ donor-akseptor cütünlükleri, A, düyünlərəsasi atomlar və $[V_A^{2+} - O_B^{2-}]^0$ kompleksləri.

Açar sözlər: zink sulfid, kadmium sulfid, nanokristal, lüminessensiya mərkəzi

Yaxşı məlumdur ki, nanozərrəciklərin sintezi üsulları və şərtləri həm hissəciklərin ölçülərinə, həm də onların xüsusiyyətlərinə böyük təsir göstərir. İdeal halda sintez metodları yüksək təmizliyə, səthin verilmiş morfologiyasına, yüksək sabitliyə və bir-birindən az fərqlənən ölçülərə malik kristallik nanozərrəciklərin alınmasına gətirməlidir. Bu materialların unikal xüsusiyyətləri, qadağan edilmiş zonanın eninin idarə oluna bilməsi və lüminessensiyasının dalğa uzunluğunun yerdəyişmə imkanları onların tətbiqini olduqca perspektivli edir. Bütün nanozərrəciklərin sintezinin bir çox metodu biziə məlumdur, amma nanostrukturun davamlı və sabit yaradılmasının metodikasının reallaşdırmasıyla bağlı çoxlu problemlər var [1-3].

İndiki zamanda elmi-tədqiqat işlərində nanostrukturların və nanokristalların fiziki xassələrinin öyrənilməsinə böyük diqqət ayrıılır. Nanokristalların optik xassələrinin öyrənilməsi xüsusi maraq kəsb edir. Optik uludurma spektrindən nanokristalların həm ölçüsünü, həm də qadağan olunmuş zonanın kənarı yaxınlığında kvant keçidlərinin enerjisini qiymətləndirmək olar. Aparılmış tədqiqatların nəticəsi onu göstərir ki, bu nanokristallar kifayət qədər lüminessesiyanın yüksək kvant çıxışına malikdirlər. Ona görə də belə strukturların həm

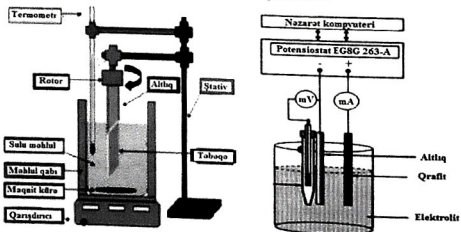
optoelektroniksanın elementlərində, həm də idarə olunan dalğa uzunluğuna malik şüalandırıcılarda tətbiqi real perspektivə malikdir [4-6].

Bu işdə nanozərrəciklərin optik xarakteristikalarına nanozərrəciklərin səth vəziyyətinin dəyişikliklərinin təsirinin öyrənilməsi üçün, sintez etdiyimiz A^2B^6 tip birləşmələrinin nanozərrəciklərinin lüminessensiyalarını tədqiq etmişik.

Sintezin metodikası

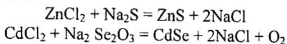
Biz nanozərrəcikləri otaq temperaturunda məsaməli silisiumun səthində sintez etmişik. Məsaməli silisiumda nanozərrəciklərin sintezinin üstünlüyü ondan ibarətdir ki, nanozərrəciklərin ölçülərinin artması üçün müəyyən məhdudiyyətlər yaranır və bu ölçülər məsamələrin ölçülərindən böyük olmur.

Əvvəlcədən silisium lövhələrin səthinin müxtəlif çirkənlənmələrdən və təbii oksid qatının kimyəvi yolla təmizlənməsi üsulu həm inkubasiya dövrünə, həm də məsaməli silisiumun alınmış qatlarının lateral bircinsliyinə təsir edir. Müxtəlif çirkənlənmələrdən lövhələrin ilkin təmizləməsi üçün adətən aseton, metanol, izopropil spirti və deionlaşdırılmış su kimi organik həllədcicilərdə yuyulmadan istifadə edir. Həmçinin bu həllədcicilərdə birlikdə bir çox hallarda əlrasəslə təmizlənmə tətbiq etmişik. Bu işdə məsaməli silisiumun qatları xüsusi müqaviməti uyğun olaraq 0.1- 40 Om·sm və 0.1 – 7.5 Om·sm olan, hər iki tərəfdən cilalanmış, p - tip və n - tip Si-un monokristallik lövhələrinin kimyəvi aşılandırılması metoduya alınmışdır. Aşılacyjı məhlul kimi 49%-li flörit, 65%-li azot və buzlu şirkə turşusunun ($HF:HNO_3:CH_3COOH$) 1200:1:0-dan 1200:1:1800-ə qədər həcmi nisbətdə qarışıqlı seçilmişdir. Aşılardırma lövhənin yalnız bir tərəfində teflon hücrədə aparılmışdır. Emal edilən səthin sahəsi 10 sm^2 təşkil edir. Kimyəvi aşılardırma otaq temperaturunda və təbii işıqlandırma mühitində aparılır. Aşılardırmadan sonra nümunələr bidistilla edilmiş su və izopropil spirti ilə yuyulur, azot axımında qurudulur.



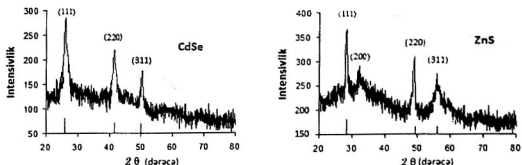
A^2B^6 tip birləşmələrin nanokristallarının sintezi məsaməli silisium alıandan dərhal sonra həmin teflon hücrədə həyata keçirilir. Sintez növbəti

reaksiyalar üzrə aparılır:



Bunun üçün əvvəlcə kadmiyum xlorid (ZnCl_2) və natriumun sulfid (Na_2S) componentlərinin molyar nisbətdə hesablanmış miqdarları götürülür, ayrı-ayrılıqda bidistillə olunmuş su ilə məhlul hazırlanır. Sonra isə növbə ilə məsaməli silisium yerləşdirilmiş qaba töküür və fasılısız qarışdırılır. Nümunələr azotla qurudulduqdan sonra onların bir hissəsi termik işlənməyə məruz qalmışlar.

Alınmış kristalların struktur xassələri Rentgen Difraktometri vasitəsilə aşasdırılmışdır (Model X-ray Seifert XRD 3003 T/T, 2θ bucağının 20^0 - 80^0 aralığında CuK_α şüalandırıcı ilə ($\lambda = 0.15406 \text{ nm}$). Nümunələrin morfolojiyası və formasını öyrənmək üçün Solver P47 tipli atom güc mikroskopundan (AGM) və 15kV - 20 kV sürətləndirici potensiala malik Skanedici Elektron Mikroskopundan (SEM) [Model: LEO 1430VP] istifadə olunmuşdur. Nümunələrin lüminessensiya və həyəcanlanma spektrləri LS55 tipli spektrofluorimetin köməyiylə alınmışdır. Şəkil 1-də A^2B^6 tip birləşmələrin nanohissəciklərin rentgen difraksiya spektrləri verilmişdir. RDS nanokristallarının əsasən {111}, {200}, {220} və {311} müstəvilərinə malik Zink Blende quruluşunda olduğunu ortaya qoyur. Kristalların kubik və heksaqaonal fazaya malik olması spektrdəki piklərin vəziyyətinə görə JCPDS standartları ilə müəyyən edilmişdir.



Şək. 1. A^2B^6 tip birləşmələrin nanohissəciklərin rentgen difraksiya spektrləri.

Hissəciklərin ölçüləri və ölçülərə görə paylanması RDS spektrindən Debye-Şerer [dd] düsturundan (1 düsturu) istifadə edərək $20 \text{ nm} - 50 \text{ nm}$ aralığında olduğu müəyyən edilmişdir. Hazırlanmış ZnS nanohissəciklərin qəfəs parametrləri massiv kristalda olduğundan ($5,41 \text{ \AA}$) fərqli olaraq $5,38-5,41 \text{ \AA}$ aralığında dəyişir.

$$D_{hkl} = \frac{k\lambda}{\beta \cos \theta} \quad (1)$$

Harada ki, β – maksimumların yarımeni, θ – Breqq bucağı, $K = 0,94$ -ə bərabər götürülmüş sabit, λ – rentgen şüasının dalğa uzunluğu və $1,54 \text{ \AA}$ -dır.

Lüminessensiyanın spektrləri 450 nm -dən 800 nm -ə qədər spektrin görülen sahəsində geniş zolaqları təşkil edir. Nümunənin hamısı üçün zolaqların

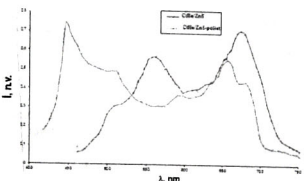
enləri 80 nm-dən 150 nm -ə qədər dəyişir. Bu o deməkdir ki, zolaqlar elementar deyil və hərəsi bir neçə daha dar zolaqdan ibarətdir, hansılar ki, lüminessensiyanın müxtalif mərkəzləri tərəfindən yaranır. Yuxarıda qeyd etmişdik ki, nanozərrəciklərin lüminessensiya xassələrini yaxşılaşdırmaq üçün onun səthini daha böyük qadağan edilmiş zonaya malik dielektriklə örtməyə çalışırlar. Biz qabiq kimi ZnS-i seçmişik. CdSe-nin qadağan edilmiş zonasının eni 2,42 eV, ZnS-in isə 3,54 eV-dir, buna görə CdSe/ZnS nanozərrəcikləri yaxşı lüminessensiyaya malikdir. CdSe/ZnS yarımkərıcı nanozərrəciklərinin alınması üçün, yuxarıda təsvir edilmiş üsulla, natrium sulfid (Na_2S) artıqlığı şərti ilə məhlula kiçik dozalarla sink xlorid (ZnCl_2) əlavə edilir. Suyun təsirindən CdSe/ZnS nanozərrəciklərinin fotoluminessensiyasının sönməsinin azaldılması üçün nanozərrəciklərin səthi, həmçinin polietilenqlikolu molekulyar qatı ilə örtülür. Bunun üçün məhlula 10% polietilenqlikolu sulu məhlulu əlavə edilir.

AGM-in kəməyilə CdSe/ZnS nümunələrinin səthinin tədqiqi zamanı alınmış şəkillərdə ölçüləri 30-50 nm olan nanozərrəciklər müşahidə olunur. Belə ölçülər böyük nanozərrəciklərin kimyəvi çökdürmə üsulu üçün tipikdir. Təsvirlərin analizi göstərir ki, nanozərrəciklər sferik formaya malikdir.

Məlumdur ki, sulu məhlulda astı halda olan CdSe və CdSe/ZnS nanozərrəcikləri zəif lüminessensiya edirlər. Ona görə də biz məsaməli silisium üzərində yalnız polietilenqlikol qatıyla örtülmüş CdSe/ZnS nanozərrəciklərinin fotoluminessensiyasını tədqiq etmişik.

Şəkil 2-də CdSe və CdSe/ZnS-in qurudulmuş nanozərrəciklərinin lüminessensiyasının spektrləri göstərilmişdir. Spektrlərdə iki təcrid edilmiş zolaq müşahidə olunur: 375 nm dalğa uzunluğu ilə həyəcanlandırdıqda maksimumu 520 nm-da; və 475 nm dalğa uzunluğu ilə həyəcanlandırdıqda maksimumu 630 nm-da. Maksimumu 630 nm olan zolaq CdSe nanozərrəcikləriylə olan nümunənin lüminessensiya spektrlərində müşahidə olunmur. Buradan belə bir nəticə çıxartmaq olar ki, CdSe nanozərrəciklərinin ZnS qabığıyla örtülməsi maksimumu 630 nm-da olan zolağın yaranmasına gətirib çıxmışdır.

Tədqiq edilmiş CdSe-nin sabitləşdirilməmiş nanozərrəciklərində yalnız aşqar-vakansiya dipollarla şərtlənən 520 nm oblastında zolaq müşahidə olunur. Suyla qarşılıqlı təsir bu lüminessensiyani qismən söndürür, ona görə ki, CdSe (II)-nin koordinasiyon-doymamış səth atomları ilə əlaqələnən suyun molekullarının iştirakıyla əlavə şüalandırıcı olmayan mərkəzlər yaranır. Nanozərrəciklərin propilenqlikolla sabitləşməsi bu lüminessensiyani möhv edir, ancaq 410 nm və 608 nm-də iki zolaq yaranır. Ancaq birinci zolaq ZnS-in lüminessensiyasına aiddir, çünki əksetmə spektrlərinə əsasən, bu zolaq CdSe udma kənarına nəzərən böyük enerjilər oblastında, ZnS udma kənarına nəzərən isə kiçik enerjilər oblastında yerləşir.



Şək.2. CdSe/ZnS-in nanozərrəciklərinin lüminessensiyasının spektrləri

Adətən 600 nm oblastındakı zolağı tərkibində kadmiumun dtyünlərarası atomları olan vakansiya komplekslərilə əlaqələndirirlər. CdSe/ZnS-in qurudulmuş nümunələrində müşahidə olunan həmin zolaq mühit dəyişikliyinə və nanozərrəciklərin öz aralarında qarşılıqlı təsirinə görə uzundalğalı sahəyə yerini dəyişmişdir. Beləliklə, ətraf mühitə nanozərrəciklərin həyəcanlanma enerjisinin itkilərinin azaldılması spektrin kiçik enerjili sahəsində lüminessensiyanın yaranmasına götürir. Enerjinin bir hissəsi CdSe/ZnS nanozərrəciklərində ZnS-in lüminessensiyasının həyəcanlanmasına götürir.

ƏDƏBİYYAT

- Смынтына В.А., Скобеева В.М., Малушин Н.В., Струп Д.А. Влияние примеси марганца на люминесценцию нанокристаллов CdS. Sensor Electronics and Microsystem Technologies T. 3(9), 2/2012
- Hasanzadeh I J., Taherkhani A. and Ghorbani M. Luminescence and Structural Properties of ZnS:Cu Nanocrystals Prepared Using a Wet Chemical Technique. Chinese Journal of Physics. v. 51, No. 3, June 2013.
- Xiying Ma, Jingwei Song, Zhangsen Yu, The Light Emission Properties of ZnS:Mn Nanoparticles. Thin Solid Films, V. 519, ISSUE 15, 31 May, 2011, pp. 5043–5045,
- Gonzalez-Diaz B., Guerrero-Lemus R., Mendez-Ramos J., Diaz-Herrera B., Diaz-Herrera B., Rodriguez V.D. Gradual Oxidation of Stain Etched Porous Silicon Nanostructures applied to Silicon-based Solar Cells, Sensors and Actuators. A 150 (2009), pp. 97-101.
- Subha R., Nalla V., Yu J.H. et al., "Efficient Photoluminescence of Mn²⁺-doped ZnS Quantum Dots Excited by Two-Photon Absorption in Near-Infrared Window II," *Journal of Physical Chemistry C*, v. 117, No. 40, pp. 20905–20911, 2013.
- Zhang W., Li Y., Zhang H., Zhou X. and Zhong X. "Facile Synthesis of Highly Luminous Mn-doped ZnS Nanocrystals," *Inorganic Chemistry*, v. 50, No. 20, pp. 10432–10438, 2011.
- Wang Y.B., Liang X.H., Ma X. et al., "Simple and Greener Synthesis of Highly Photoluminescence Mn²⁺-Doped ZnS Quantum Dots and its Surface Passivation Mechanism," *Applied Surface Science*, v. 316, pp. 54–61, 2014.

ЛЮМИНЕСЦЕНЦИЯ НАНОЧАСТИЦ CdSe / ZnS

М.А.ДЖАФАРОВ, Э.Ф.НАСИРОВ, С.А.МАМЕДОВА

РЕЗЮМЕ

В работе была предложена модель физической природы центров люминесценции нанокристаллов соединений типа A^2B^6 . Нанокристаллы получены химическим осаждением из водного раствора на пористом кремнии и имеют размер 30-50 нм. Предполагается, что существует четыре типа кристаллических дефектов нанокристаллов этого размера, которые создают самоактивирующие центры люминесценции для микро- и монокристаллов. Для расчета состояния грани запрещенной зоны и уровня дефектов была использована модель эффективной массы. Сравнение результатов расчета модели эффективной массы с результатами разделения спектра люминесценции на четыре части показывает, что ошибка не превышает погрешность эксперимента. На основании этого результата сделаны выводы, что самоактивированные центры люминесценции нанокристаллов соединений типа A^2B^6 образуются из следующих дефектов кристаллических решетки: V_A - вакансия катионов, $[V_A - V_B]^0$ донорно-акцепторные пары, межузельные атомы A_i и $[V_A^{2+} - O_B^{2+}]^0$ комплексы.

Ключевые слова: цинк-сулфид, кадмий супфид, нанокристаль, центры люминесценции

LUMINESCENCE OF THE CdSe / ZnS NANOPARTICLES

M.A.JAFAROV, E.F.NASIROV, S.A.MAMMADOVA

SUMMARY

A model of the physical nature of luminescence centers of nanocrystals of A^2B^6 compounds was proposed. Nanocrystals are obtained by chemical deposition from an aqueous solution on porous silicon and have a size of 30-50 nm. It is assumed that there are four types of crystal defects of nanocrystals of this size, which create self-activating luminescence centers for micro- and single crystals. An effective mass model was used to calculate the state of the band gap edge and the level of defects. The comparison of the calculation results of the effective mass model with the results of the separation of the luminescence spectrum into four parts shows that the error does not exceed the experimental error. On the basis of this result it is concluded that some activity of the luminescence spectra of nanocrystals of the A^2B^6 type compounds formed the following defects in the crystal lattice: V_A - vacancy cations, $[V_A - V_B]^0$ donor-acceptor pairs, and interstitial atoms A_i and $[V_A^{2+} - O_B^{2+}]^0$ complexes.

Key words: zinc sulphide, cadmium sulphide, nanocrystalline, luminescent centers

Redaksiyaya daxil oldu: 22.11.2018-ci il

Çapa imzalandı: 10.12.2018-ci il